

Résumé Cours

Rédigé par Sandy Nemnoum

Electronique Industrielle

2ème Courant Fort

Semestre 1

Veuillez respecter l'auteur de ce document.  
Droits de reproduction et de diffusion réservés.

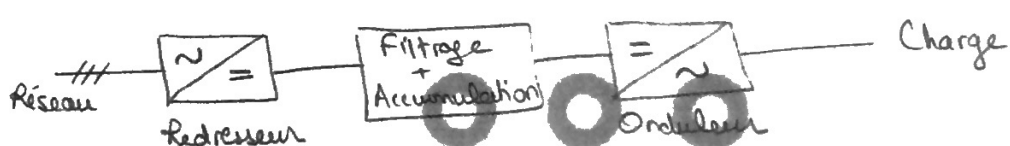
# Électronique Industrielle

- Valeur continue  $\rightarrow$  Valeur moyenne non nulle
- Valeur alternatif  $\rightarrow$  " " nulle
- Transformations possibles :

Type de conversion	Grandeurs négées	Convertisseurs
AC - DC	fréq. - Amp.	Redresseur
DC - AC	fréq - Amp - Déphasage	Onduleur
DC - DC	Amp	Hacheur
AC - AC	Amp	Gradateur (relais) $f_1 = f_2$
	Amp - fréq - Phase	Cyclo-convertisseur $f_1 \neq f_2$

- Convertisseur direct  $\rightarrow$  conversion d'énergie au moyen d'une seule structure de base
- Convertisseur indirect  $\rightarrow$  2 ou plus structures de base

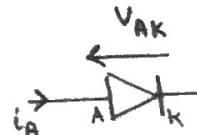
Ex AC-AC indirect (UPS)



- Interrupteur Tout -ou - rien  $\rightarrow$  soit tout bloqué soit tout faire passer
- La fonction interrupteur permet de limiter la dissipation de puissance dans les semi-conducteurs  $\Rightarrow$  Augmenter le rendement.
- 3 types de semi-conducteurs de puissance :
  - non contrôlé diode de puissance
  - contrôlé sans commande de blocage Thyristor - triac
  - contrôlé avec commande de blocage Transistor bipolaire de puissance MOSFET ----

### Diode

- uni directionnel
- faire passer le courant dans un seul sens)



- Allumage (diode passante équiv à un c-c)

$$V_{AK} > V^* \text{ tension seuil}$$

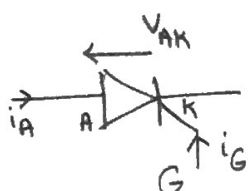
- Bloage  $i_A = 0$  (~~pas car  $V_{AK} < 0$~~ )

(idéal diode équiv à un circuit ouvert  
non idéal  $\rightarrow$  source de tension + résistance)



### Thyristor

- uni directionnel
- commandable à l'amorçage



- Amorçage

$$V_{AK} > 0$$

courant de gâchette à la bonne forme  
 $\int L i_G > 0$



- Bloage  $V_{AK} < 0$

$$i_A = 0$$

Temps de désamorçage du th  $\rightarrow V_{AK}$  reste  $\ominus$   
pendant ce temps sinon th risque de  
s'amorcer à nouveau.



- Bloage  $V_{AK} < 0$

$$i_A = 0$$

$\int L i_G > 0$

- Passant

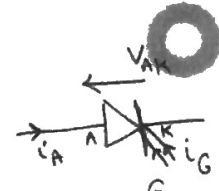
$$V_{AK} > 0$$

$\int L i_G < 0$



### GTO - IGCT

- uni directionnel
- commandable à l'amorçage et au blocage



- Passant

$$V_{AK} > 0$$

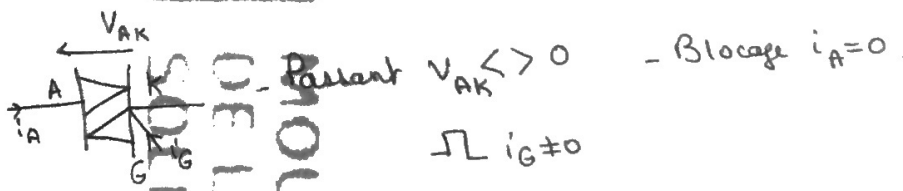
$\int L i_G < 0$

$$\int L i_G > 0$$

### Triac

- bidirectionnel (laisse passer le courant dans les 2 sens)
- commandable à l'amorçage

(slide 19)



DE  
SIE  
SE  
IDI  
DAIRE  
OUVEMENT

- Passant  $V_{AK} < 0$

- Bloage  $i_A = 0$

$$\int L i_G \neq 0$$

## - Phénomène de commutation: (slide 21)

- ↳ l'interrupteur ne peut pas supporter des valeurs très grandes de tension (par ex soumis à 12V - au coupé de courant tension = 1000V)
- ↳ solution → on ne coupe pas un courant, on le commute → faire passer le courant ailleurs que par l'interrupteur

### - Notions fondamentales:

•  $x(t)$  périodique de période  $T > 0$  si  $x(t+T) = x(t)$

$$f = \frac{1}{T} \text{ (Hz)}$$

$$\omega = 2\pi f = \frac{2\pi}{T} \text{ (rad/s)}$$

#### • Valeur moyenne

$$x_0 = \langle x(t) \rangle = \frac{1}{T} \int_{t_0}^{t_0+T} x(t) dt$$

$$x_0 = \langle x(t) \rangle = \frac{1}{wT} \int_{wt_0}^{wt_0+2\pi} x(wt) dwt = \frac{1}{2\pi} \int_{wt_0}^{wt_0+2\pi} x(wt) dwt$$

• Signal alternatif → périodique à valeur moyenne nulle

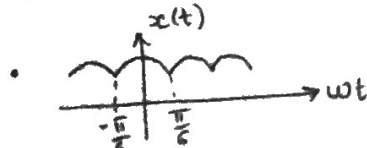
• Signal "continu" → " à valeur moyenne non nulle  
si s'il contient une composante ondulatoire

$$x(t) = \langle x(t) \rangle + x_v(t) = x_0 + x_v$$

Valeurs d'ondulation

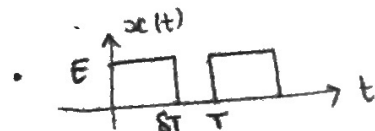
$$R = \frac{x_v}{x_0}$$

### Calcul de $x_0$ :



$$x(wt) = A \sqrt{2} \cos(wt) \quad \text{pour } \frac{\pi}{6} < wt < \frac{\pi}{6}$$

$$x_0 = \frac{A \sqrt{2}}{\pi} \int_{\pi/6}^{\pi/2} \cos(wt) dt$$



$$x_0 = \frac{E}{T} \int_0^T dt$$

• Valeur efficace d'un signal périodique  
" valeur quadratique moyenne  
 $R_{\text{rms}} = \text{root mean square}$

$$X_{\text{eff}} = \sqrt{\frac{1}{T} \int_{t_0}^{t_0+T} x^2(t) dt}$$

• voir s. 27.

Série de Fourier: (S.28)

$$x(t) = X_0 + \sum_{n=1}^{+\infty} [a_n \cos(nwt) + b_n \sin(nwt)]$$

$$X_0 = \frac{1}{T} \int_{t_0}^{t_0+T} x(t) dt$$

$$a_n = \frac{2}{T} \int_{t_0}^{t_0+T} x(t) \cos(nwt) dt$$

$$b_n = \frac{2}{T} \int_{t_0}^{t_0+T} x(t) \sin(nwt) dt$$

$$x(t) = X_0 + \sum_{n=1}^{+\infty} c_n \cos(nwt - \varphi_n)$$

$$c_n = \sqrt{a_n^2 + b_n^2}$$

$$\tan \varphi_n = \frac{a_n}{b_n}$$

$$x(t) = X_0 + \sum_{n=1}^{+\infty} c_n \sin(nwt + \varphi_n)$$

$$\tan \varphi_n = \frac{b_n}{a_n}$$

$X_0 \rightarrow$  valeur moyenne de  $x(t)$

$x_i(t) = c_i \sin(iwt + \varphi_i) \rightarrow$  harmonique de rang  $i$

Pour  $i=1$   $x_1(t) = c_1 \sin(wt + \varphi_1) \rightarrow$  fondamental

$X_{i\text{eff}} = \frac{c_i}{\sqrt{2}} = C_i = \sqrt{\frac{a_i^2 + b_i^2}{2}}$  valeur efficace de l'harmonique de rang  $i$

Si  $x(t)$  impair  $\rightarrow a_n = 0$

Si  $x(t)$  pair  $\rightarrow b_n = 0$

(voir S.31)

Ronflement  $\rightarrow$  la composante alternative du signal  $x(t)$ :

$$x_{ca}(t) = x(t) - X_0 = \sum_{n=1}^{+\infty} c_n \cos(nwt - \varphi_n)$$

$$X_{ca\text{eff}} = \sqrt{\sum_{n=1}^{+\infty} X_n^2}$$

$X_{eff}$  en fonction des coef de Fourier:

$$X_{eff} = \frac{1}{T} \int_{t_0}^{t_0+T} x^2(t) dt = \frac{X_0^2 + X_{ca\text{eff}}^2}{2} \quad X_{eff}^2 = \sqrt{X_0^2 + X_{ca\text{eff}}^2}$$

$\rho = \frac{X_{ca\text{eff}}}{X_0}$  coeff de ronflement au facteur harmonique

Pour un signal alternatif:

facteur de déformation

$$\lambda = \frac{X_{ca\text{eff}}}{X_{eff}} = \frac{X_{ca\text{eff}}}{\sqrt{X_0^2 + X_{ca\text{eff}}^2}}$$

$$\Rightarrow \lambda \text{ tjs } < 1$$

$\lambda = 1 \rightarrow$  signal purement sinusoïdal

$\lambda$  caractérise la déformation d'un signal par % à une sinusoïde

- puissance instantanée

$$p(t) = e(t) i(t)$$

(W)

- énergie fournie par la source pendant un intervalle  $t_c$

$$W = \int_0^{t_c} e(t) i(t) dt$$

- si  $e(t)$  périodique, puissance moyenne

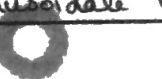
$$\bar{P} = \frac{1}{T} \int_0^T e(t) i(t) dt = \frac{1}{2\pi} \int_0^{2\pi} e(\omega t) i(\omega t) d(\omega t)$$

↳ si  $P > 0 \Rightarrow$  source fournit de l'énergie

↳ si  $P < 0 \Rightarrow$  source reçoit de l'énergie et devient une charge.

- Cas d'une source de tension sinusoïdale monophasé :  $e(t) = E\sqrt{2} \sin(\omega t)$

### 1- Charge Linéaire



diphase de  $\varphi$

$$i(t) = I\sqrt{2} \sin(\omega t - \varphi)$$

→ puissance instantanée  $p(t) = e(t) i(t) = 2EI \sin(\omega t) \sin(\omega t - \varphi)$



$$= EI \cos \varphi - EI \cos(2\omega t - \varphi)$$

terme cst

terme harmonique

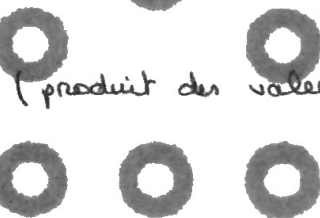
→ puissance moyenne  $\bar{P} = \frac{1}{T} \int_0^T p(t) dt = EI \cos \varphi$



- Puissance apparente

$$S = EI$$

(VA)



$$\bar{E} = E e^{-j\varphi}$$

$$\bar{I} = I e^{-j\varphi}$$

composante en phase

$$\bar{I}_p = I_p e^{-j\varphi}$$

composante en quadrature

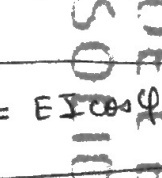
$$\bar{I}_q = I_q e^{-j\varphi}$$

composante en quadrature

- Puissance active

$$P = EI_p = E I \cos \varphi$$

(W)



$$\bar{S} = \bar{E} \bar{I}^*$$

$$Q = EI_q = E I \sin \varphi$$

(VAR)

$$Z = \frac{\bar{E}}{\bar{I}}$$

$$S^2 = P^2 + Q^2$$

- Puissance réactive

$$Q = EI_q = E I \sin \varphi$$

(VAR)

$$Z = \frac{\bar{E}}{\bar{I}}$$

$$S^2 = P^2 + Q^2$$

- Puissance apparente complexe

$$\bar{S} = \bar{E} \bar{I}^*$$

$$Z = \frac{\bar{E}}{\bar{I}}$$

$$S^2 = P^2 + Q^2$$

- Fraction de puissance

$$F_p = \frac{P}{S} = \frac{EI \cos \varphi}{E\sqrt{2}} = \cos \varphi$$

" mesure du déplacement ou du déphasage de l'onde fondamentale de courant par % à la tension

Puissance réactive

$$Q = \frac{1}{T} \int_0^T i(t) E \sqrt{2} \sin(\omega t - \frac{\pi}{2}) dt$$

$$= \frac{1}{\pi} \int_0^{\pi} e^{j(\omega t - \frac{\pi}{2})} i(\omega t) d(\omega t)$$

→ c'est la puissance active que consommerait l'installation si, alimentée par une source de tension en quadrature arrière, elle consomme exactement le m<sup>e</sup> courant.

## 2. Charge non-linéaire

$$e(t) = E \sqrt{2} \sin(\omega t)$$

$$i(t) = \sum_{n=1}^{+\infty} I_n \sqrt{2} \sin(n\omega t - \varphi_n)$$

• puissance active fournie par la source  $P = EI_1 \cos \varphi_1$

• " réactive " " " "  $Q = EI_1 \sin \varphi_1$

• " apparente au niveau de la source  $S = EI = E \sqrt{\sum_{n=1}^{+\infty} I_n^2}$

(slide 44)

somme de tous les courants harmoniques

\* si la charge est linéaire, la forme du courant est la m<sup>e</sup> que la source  
⇒ pas de distorsion.

• facteur de puissance  $f_p = \frac{P}{S} = \frac{EI_1 \cos \varphi_1}{EI} = \frac{I_1}{I} \cos \varphi_1$  ← valeur efficace du fondamental

• facteur de puissance  $f_p = \frac{P}{S} = \frac{EI_1 \cos \varphi_1}{EI} = \frac{I_1}{I} \cos \varphi_1$  ← facteur de déplacement

• facteur de déplacement → déphasage de l'onde fondamental par " " à l'onde principale

• valeur scalaire de la puissance apparente  $S_1$  associée au fondamental:

$$S_1^2 = P^2 + Q^2 = (EI_1 \cos \varphi_1)^2 + (EI_1 \sin \varphi_1)^2 = E^2 I_1^2$$

cas de charge non-linéaire  $\Rightarrow JD$

• valeur scalaire de la puissance apparente totale  $S$

$$S^2 = E^2 I^2 = E^2 \sum_{n=1}^{+\infty} I_n^2$$

$$S^2 = E^2 I_1^2 + E^2 \sum_{n=2}^{+\infty} I_n^2$$

$$\Rightarrow S^2 = P^2 + Q^2 + D^2$$

•  $D \rightarrow$  représente les voltampères associés à la distorsion harmonique

$$D^2 = E^2 \sum_{n=2}^{+\infty} I_n^2 = S^2 - S_1^2 = E^2 (I^2 - I_1^2) = D^2$$

# Interrupteurs de puissance

1

## 1. Qualité principale → Le rendement

↳ résistances rejetées et réduction de leur présence au min. possible

↳ fonction chute de tension et commutation de courant obtenues à l'aide d'interrupteur.

Interrupteur idéal → - pas de chute de tension qd ON  
- pas de passage de courant qd OFF

Interrupteur = résistance sans pertes.

→ slide 53 → La résistance assure les fonctions chute de tension et commutation de courant mais avec pertes très importantes.

→ slide 54 → L'interrupteur assure les fonctions de chute de tension et commutation de courant

<sup>mais</sup> système de commutat° → tension et courant de charge de forme nachee

\* Nécessité d'ajouter des éléments réactifs (filtres)

\* circuit (L-C) est oscillant pour réduire les oscillations → ajout de résistances (RLC)

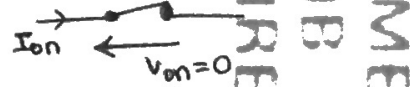
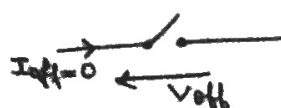
capacité pour réduire les oscillat° en tension  
inductance " " " en courant

Interrupteur → permet le contrôle du transfert d'énergie

Système de l'élec de puissance

filter → à pas de L et de C permet de lisser les formes d'onde lors du transfert d'énergie.

### 1. Interrupteur Ideal



• Etat OFF →  $I_{off}=0$  courant le traversant nul

→  $\leq V_{off} \leq +\infty$  capacité de supporter n'importe quelle tension entre ses bornes

• Etat ON →  $V_{on}=0$  tension à ses bornes nulles

→  $\leq I_{on} \leq +\infty$  capacité de faire transiter n'importe quel courant

→ Pertes nulles aux états ON/OFF

3° commutations ON/off et OFF/on instantanées

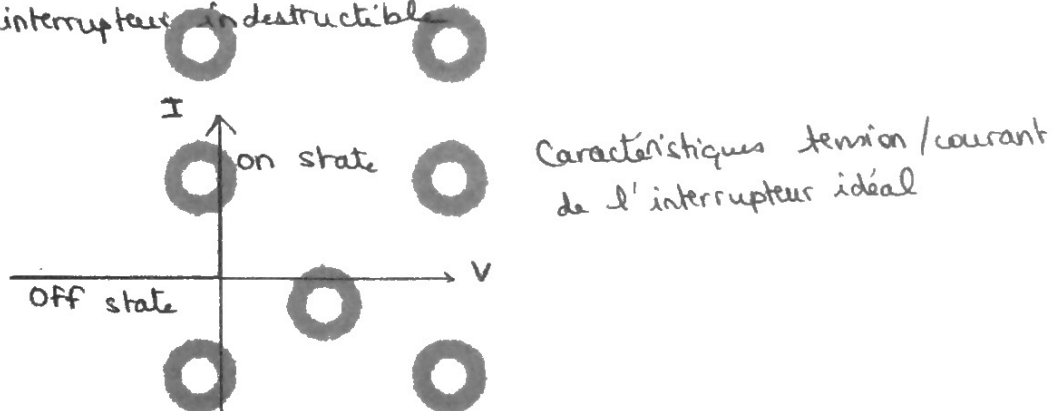
$$\left\{ \begin{array}{l} t_{on/off} = 0 \\ t_{off/on} = 0 \end{array} \right.$$

4° Aucune énergie nécessaire aux commutations ni au maintien des états on et off

$$E_{on} = 0 \quad E_{off} = 0 \quad E_{on/off} = 0 \quad E_{off/on} = 0$$

5° Caractéristiques stables & conditions de fonctionnement

- pertes nulles aux états passant et bloqué
- pertes nulles lors des commutations
- puissance de commande nulle
- interrupteur indétructible



## 2- Interrupteur Réel

1° Etat off  $I_{off} \neq 0$  courant de fuite

$$V_- < V_{off} < V_+ \text{ tensions bloquées limitées}$$

$\Rightarrow$  pertes au blocage



2° Etat on  $V_{on} \neq 0$  chute de tension à l'état on

$$I_- \leq I_{on} \leq I_+$$

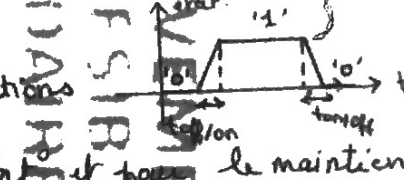
$\Rightarrow$  pertes par conduction



3° Commutations on/off et off/on non instantanées  $\Rightarrow$  limitation de fonctionnement limitée

$$t_{on/off} \neq 0 \quad t_{off/on} \neq 0$$

$\Rightarrow$  pertes par commutations



$$T \geq t_{on/off} + t_{off/on}$$

↑ période de commutation

4° Besoin d'énergie pour les commutations et pour le maintien des états

$$E_{on} \neq 0 \quad E_{off} \neq 0 \quad E_{on/off} \neq 0 \quad E_{off/on} \neq 0$$

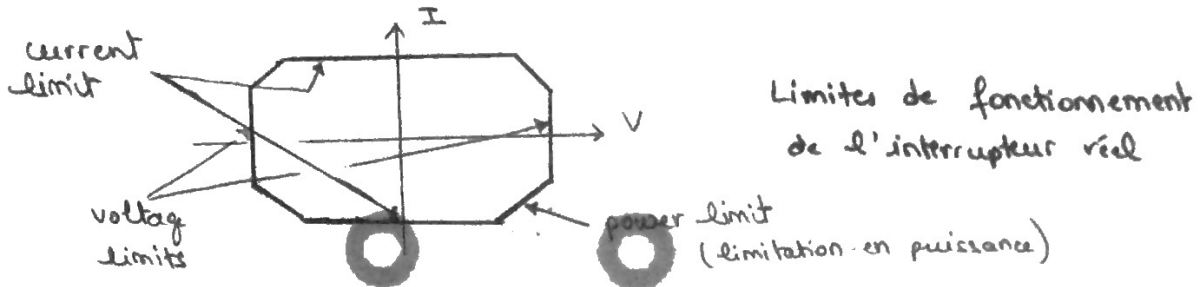
$\Rightarrow$  circuits armés (drive circuits) fournissant l'apport d'énergie

5° Caractéristiques de l'interrupteur réel limitées en température (dissipation de puissance non nulle)

$\Rightarrow$  apparaît sous forme de chaleur et augmente la température du composant

$\Rightarrow$  Ajout d'éléments intérieurs (ex: radiateur) permettant la dissipation de chaleur pour éviter les défaillances du composant.

- + on veut commuté vite, + puissance de dissipation grande, + échauffement  
→ nécessité de protéger les interrupteurs.

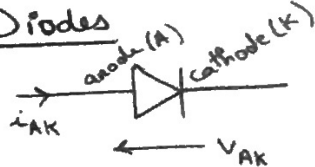


- \* pts de fonctionnements des états stables proches des axes définis dans le cas de l'int. idéal.
- \* Existence d'une zone de sécurité de fonctionnement à ne pas dépasser lors des commutations.

### Catégories

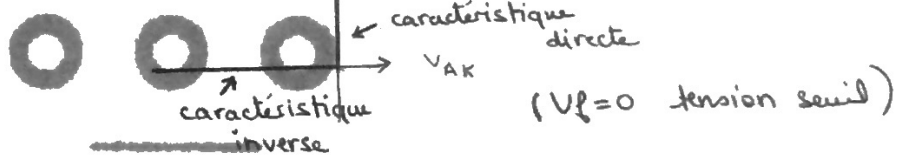
- Interrupteurs non commandables → diodes
  - état on et off dépendant du circuit de puissance
  - pas d'entrée de commande
- Interrupteurs semi-commandables → thyristors - triacs
  - mise en conduction possible par l'entrée de commande
  - blocage dépendant du circuit de puissance
- Interrupteurs commandables → états on et off commandables avec une entrée de commande adéquate

### Diodes

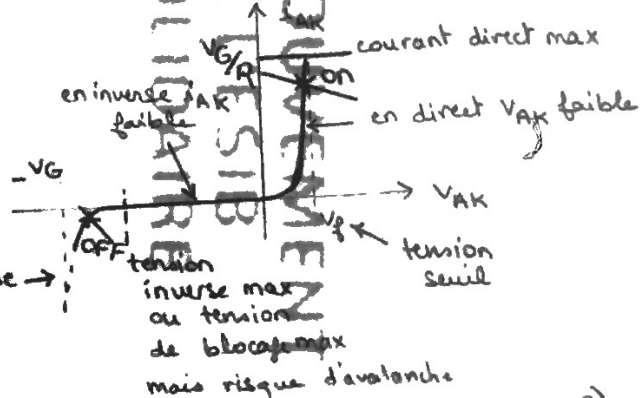
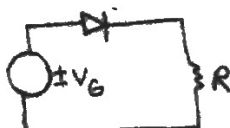


### Caractéristique idéale

Fonctionnement en inverse →  $i_{AK}$  fonctionnement en direct → passage de courant +  
blocage de tension -



- \* Interrupteur unidirectionnel en tension Et en courant  
Circuit de commande inutile : circuit de puissance impose l'état ON ou OFF de la diode



- 2°)  $V_{on} = V_f \approx 0$   
I<sub>on</sub> dépend du circuit

$$3°) P_{on} = V_f I_{on}$$

$$P_{off} = V_{off} I_{rev}$$

$$\text{pour } V_{AK} < 0$$

$$I_{AK} = I_{rev} \approx 0$$

en fonction du circuit

4°)  $t_{fr} = \text{forward recovery time}$

$t_{rr} = \text{reverse recovery time} \leftarrow \text{impose la fréquence max de commutation de la diode}$   
 $t_{fr} \ll t_{rr}$

pendant le temps de recouvrement inverse, un courant négatif  $I_{rr}$  s'écoule à travers le composant  $\rightarrow$  d'où  $Q_{rr} = \text{puissance de recouvrement inverse nécessaire pour bloquer les tensions inverses}$

#### \* Critères de choix :

• Il faut multiplier les valeurs calculées ( $i_{AK}$ ,  $V_{max}$  et  $i_{max}$ ) par le coeff de sécurité ( $1,5 < K < 2$ )

•  $I_f = \text{courant direct moyen}$

$V_{RRM} = \text{tension de blocage répétitive inverse}$

$V_f = \text{tension directe à l'état ON}$

$I_R = \text{courant de fuite à l'état OFF}$

$R_{eq} = \text{impédance thermique}$

$t_{rr} = \text{temps de recouvrement inverse}$

$I^2t = \text{contrainte thermique} \leftarrow \text{pic d'énergie max à court terme que peut supporter la diode}$

pour dimensioner le radiateur on a la puissance dissipée  $P_d = \sum R_{eq} \times \theta$

#### \* Protections :

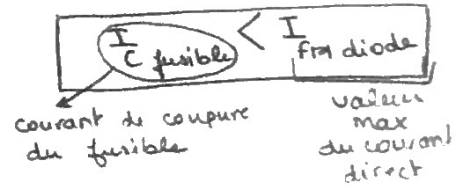
1) Protection thermique : radiateur

2) Protection contre les surcharges : fusible tel que

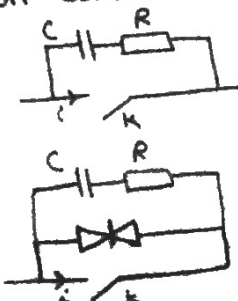
$$I^2t_{\text{fusible}} < I^2t_{\text{diode}}$$

Il faut que le fusible brûle avant que la diode brûle.

Et



#### 3°) Protection contre les surtensions.



- ✓ insertion d'un circuit  $RC$  - série en parallèle
- ✓ avec l'interrupteur
- ✓ interrupteur non linéaire supplémentaire (diode Zener) placé en // avec l'élément ou en trans.  
Détendeur d'installation (elle dissipe l'énergie de la surtension)

#### 4°) Protection dynamique :

un semi-conducteur très sensible aux variations brutales de tension

$\frac{dv}{dt}$  et de courant  $\frac{di}{dt}$  qui apparaissent lors des commutations.

Inductance (retarde le courant)  $\rightarrow$  contre les variations de courant de tension

Condensateur (retarde la tension)  $\rightarrow$  " " " de tension

Pour amortir les oscillations induites par le circuit LC, insertion de circuits d'absorption de commutation (CALC) ou adoucisseurs.

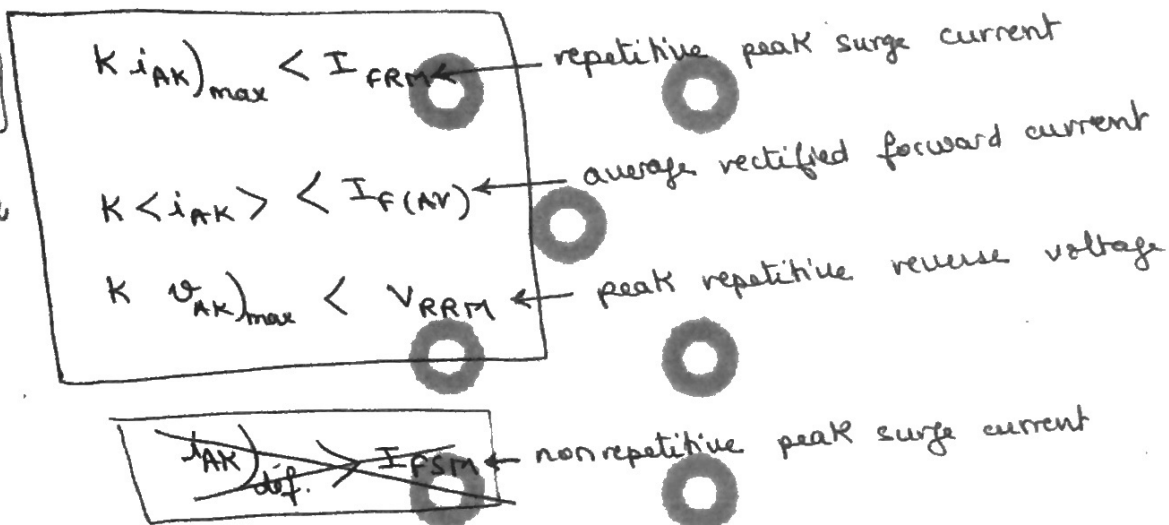
+ Datasheet de la diode très rapide

↳ 1200 V tension max qu'elle est capable de bloquer ( $V_{RRM}$ )

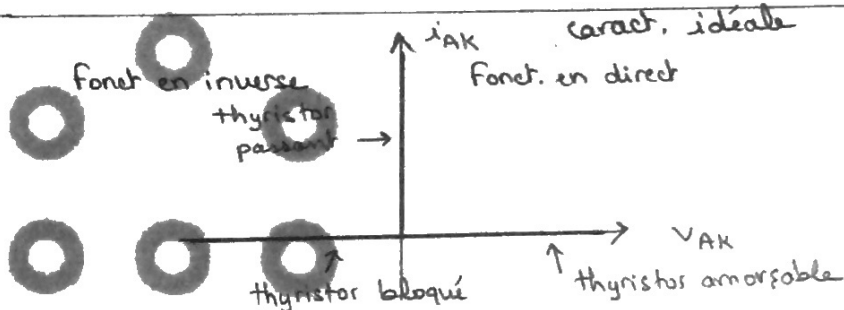
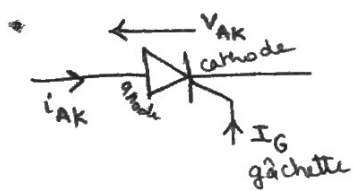
↳  $I_F = 30A$  (average rectified forward current)  
courant moyen sous lequel la diode fonctionne le mieux.

dimensioner  
la diode

$1,5 < K < 2$



### Thyristor Et Triac



\* Thyristor bloqué (OFF) [si  $i_{AK}=0 \wedge v_{AK}<0$ ]

\* si  $v_{AK}>0$  thyristor est amorçable

\* Qd le thyristor bloque une tension  $\oplus \Rightarrow$  thyristor amorçable (bloqué en direct)

\* Amorçage obtenu par un courant de gâchette  $i_G>0$  d'amplitude suffisante alors que la tension  $v_{AK}>0$

\* Etat passant (ON)  $v_{AK}\neq 0 \wedge i_{AK}>0$

\* Bloqué  $\oplus$  que  $i_{AK}=0$

\* Changement  $\ominus$  état non commandable

\* Caractéristique à 3 segments  $\rightarrow$  tension réversible

\* 2 types de commutation:

→ commutation naturelle par annulation de  $i_{AK}$

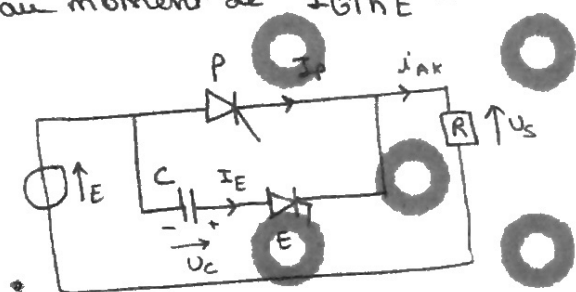
→ " forcée par inversion de  $v_{AK}$

\* Blocage par commutation naturelle (S.80)

- Pour une charge résistive  $\rightarrow$  courant et tension en phase
- Si on envoie une impulsion de gâchette lorsque la tension aux bornes du thyristor est  $\ominus$   $\rightarrow$  thyristor reste bloqué
- Pour amorcer le thyristor, on envoie une impulsion de gâchette lorsque la tension à ses bornes est  $\oplus$   $\rightarrow$  thyristor reste passant jusqu'à l'annulation du courant.

\* Blocage par commutation forcée (S.81)

- Ajouter des circuits auxiliaires pour commuter en forcée
- Après la décharge de la capacité jusqu'à  $(-E)$  pour que la boucle se ferme il faut inverser la tension aux bornes de la capacité (circuit d'inversion)
- $I_p$  s'annule au moment de  $I_{GTH}$  car la capacité est déchargée pas de courant

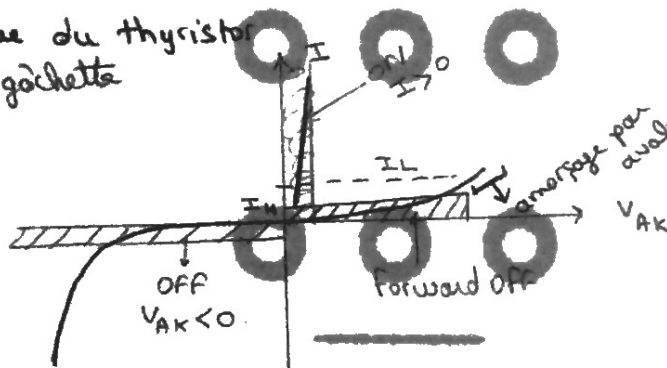


$I_H$  = holding current  
courant de maintien

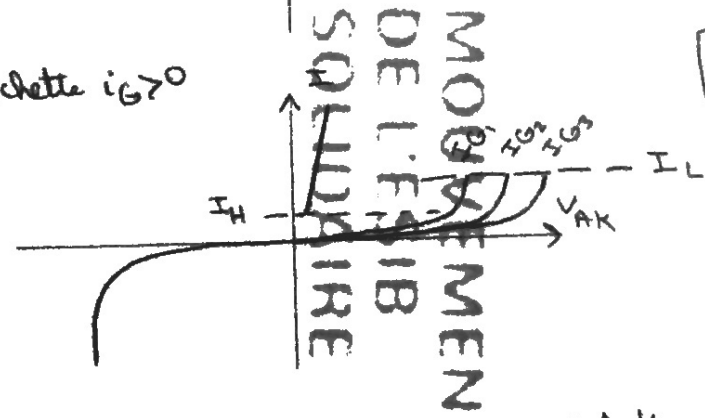
$I_L$  = latching current  
courant d'amorçage

\* Caractéristique du thyristor

+ sans impulsion de gâchette  
 $i_G = 0$



2<sup>e</sup> impulsion de gâchette  $i_G > 0$



Limites actuelles  
6000V de tension d'avalanche  
3500A pour courant direct

+ si on envoie pas une impulsion de gâchette, si la tension à ses bornes est  $\oplus$  en dépassant une valeur limite  $\rightarrow$  risque d'amorçage  
 $\Rightarrow$  amorçage par avalanche

+ pour  $i_G = 0$  si  $i_{thyristor} > i_L \Rightarrow$  amorçage  
 $i_{thyristor} < i_H \Rightarrow$  blocage

- \* Amorçage par impulsion de courant sur la gâchette

  - \* Pour assurer l'amorçage du thyristor,  $i_G$  doit se maintenir tant que  $i_{AK} < i_L$
  - \* Plus la charge est inductive plus la durée de l'impulsion de gâchette est importante.

\* Amorçage non contrôlé par gradient de tension

si  $\frac{dv_{AK}}{dt}$  trop grand lors du passage de  $v_{AK} < 0$  à  $v_{AK} > 0$

$\uparrow \cancel{\text{ }} \rightarrow \frac{dv_{AK}}{dt} \ggg$

\* Amorçage non contrôlé par effet de température

température  $\ggg \rightarrow$  courants de fuite  $\ggg \Rightarrow$  risque d'amorçage non désiré

+ Amorçage par rayonnement sur la gâchette

+ Méthode la plus appropriée pour amorcer le thyristor  $\rightarrow$  impulsion de courant sur la gâchette

\* Condition de bon fonctionnement  $\rightarrow$  Respect du temps de désamorçage

$$t_r > t_q$$

$t_r > t_q$  pendant lequel  $V_{AK} < 0$  après blocage du thyristor  
 tr = temps de repos → pendant lequel le thyristor  
 tq = temps de désamorçage → temps minimum pendant lequel le thyristor  
 doit être en blocage inverse pour ne pas avoir de réamorçage intempestif (du constructeur)



## Commutations du thyristor

Valuers der constructus:

$\text{IF}_{(\text{AV})}$  cannot direct Mayer

$V_F$  tension directe à l'état ON perte par conduction  
IF (AV) courant direct moyen perte par effet Joule

Ils causent de forte perte d'énergie par  
la transmission thermique radiante

~~Rage~~ ~~Impression~~  
Est constraint thermique sensible

**VDTM**: tension de blocage répétitive  
directe

on a 3 segments  
be the great bilobular dia-  
temaria. > -

gradient de courant max à l'amorçage  
max (postcritique)

$I_{dmax}$  (post-test dynamic) current  
 $T_{IRM}$  max recovery segment inverse

$I_{dmax}$  (protect-dynamic) current  
 $T_{IRM}$  max recovery segment issue

$T_{IRM}^{max}$  temps de recouvrement inverse

Le temps de désoxygénation

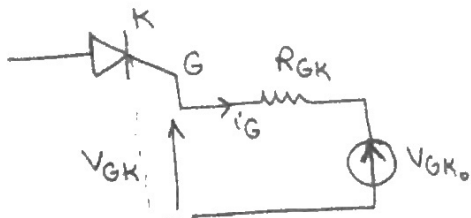
**V<sub>RAM</sub>** tension de blocage reportée à la masse  
voltage stall time → fréq max pour la  
commutation

$t_{vf}$  = voltage fall time on next commutator  
 $t_{vf} \rightarrow$  initial tension max

$$\frac{dV_{AX}}{dt} \Big)_{\max} \text{ gradient de tension max}$$

(pascal' dynes)

\* Commande de gâchette

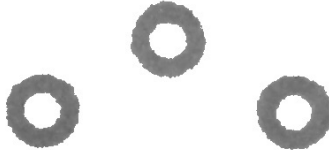


- \* Gâchette assimilée à une diode de grande résistance dynamique
  - tension seuil  $V_{GKO}$
  - résistance  $R_{GK}$

$V_{GK} = V_{GKO} - R_{GK} i_G \rightarrow$  il faut que cette droite se trouve dans la zone d'amorçage certain.  
notre choix

- \* il faut que  $i_G$  existe tant que  $i_A < i_L$  pour assurer l'amorçage.
- \* En pratique on envoie 2 impulsions successives et rapides pour ne pas affecter t'amorçage.

(slide 90)  
91



- \* top-zéro → à partir duquel on va compter le temps de retard pour amorcer le thyristor à un instant donné  $\alpha$ .

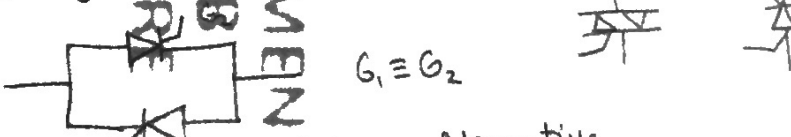
C'est moi qui choisit  $\alpha$ , en connaissant la tension continue ( $U_{DC} \times \cos \alpha$ )  $\Rightarrow$  je connais  $\cos \alpha$   $\Rightarrow$  je tire  $\alpha$ .

(slide 92 → 100)

$$\langle u_c \rangle = U_{DC} \cos \alpha.$$

\* Triac  
↳ composant bidirectionnel  $\rightarrow$  conduit le courant dans les 2 sens  
Tant qu'on applique une impulsion sur sa gâchette

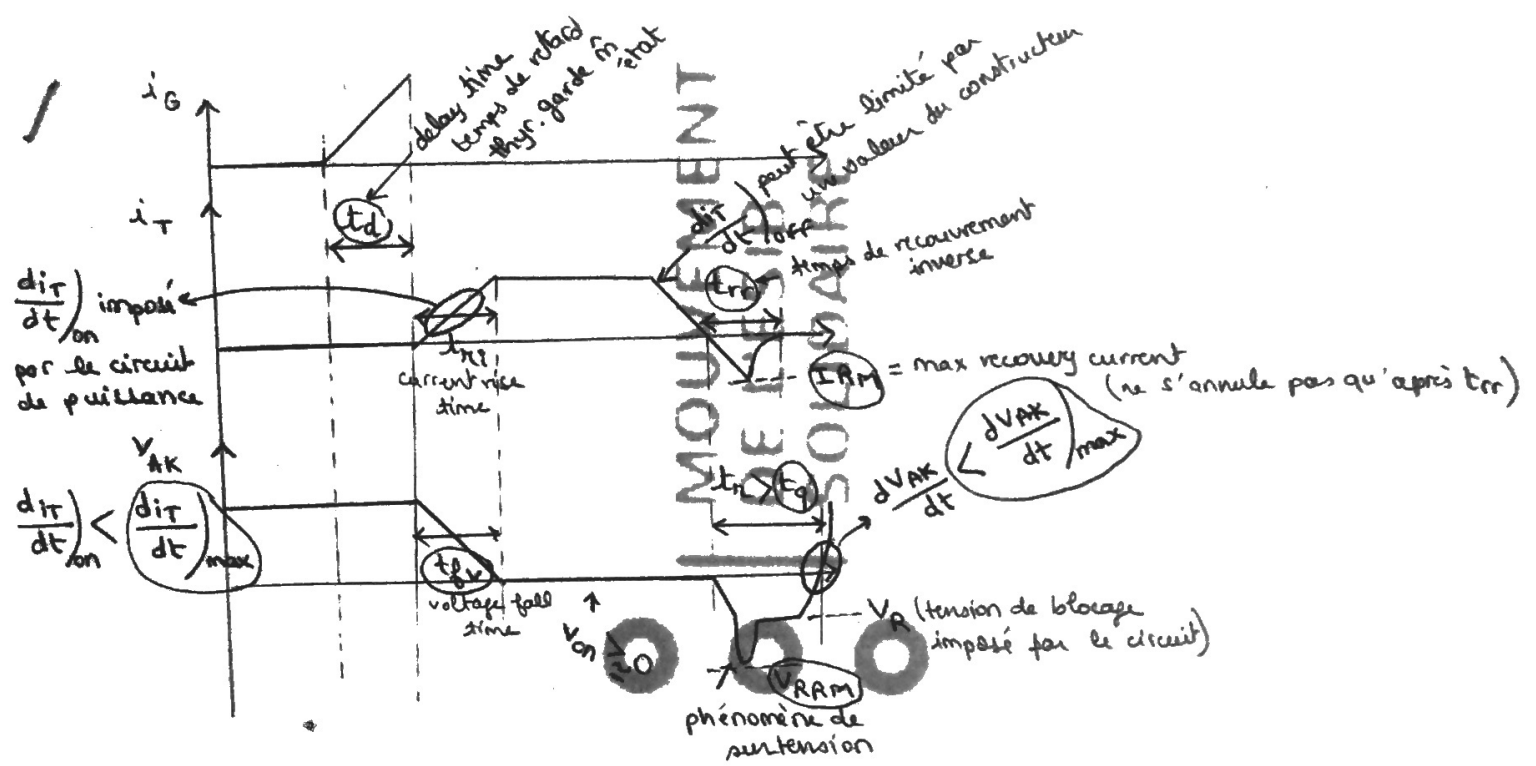
↳ assimilable à 2 thyristors en "tête-bêche"



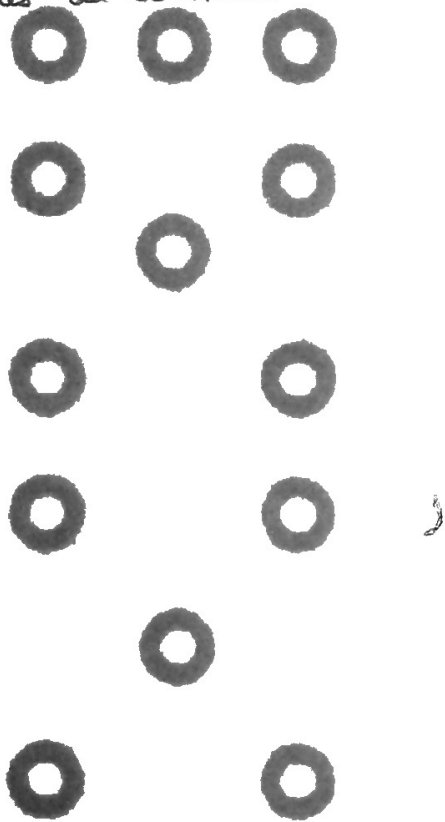
↳ employé pour la régulation d'une tension alternative

↳ le triac cesse de conduire lorsque le courant à l'anode diminue en dessous du  $i_H$  (holding current)

La seule façon de le faire passer à l'état de repos est de réduire le courant à un niveau suffisamment faible.



○ valeurs tirées du constructeur



## • Redresseur monophasé (pont à 4 thyristors) (AC-DC)

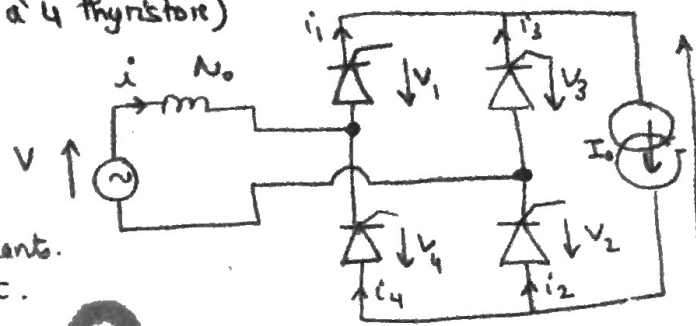
• Retard à l'amorçage  $\alpha$

$$\bullet V(t) = V\sqrt{2} \sin \omega t$$

• induction  $N_o \leftarrow$  limite le courant

•  $\omega = \omega t$   $i(t)$  entre  $I_0$  et  $-I_0$   
qd les 4th sont passants.

• charge = source de courant continue  $I_0$  cst.



\* 2 états possibles

①  $T_1 - T_2$  bloqués  
 $T_3 - T_4$  passants

②  $T_1 - T_2$  passants  
 $T_3 - T_4$  bloqués.

On prend cet état initial l'état ②

$$\bullet u_c(t) = -V(t)$$

$$\bullet i(t) = -I_0$$

$$\bullet V_{T_3} = V_{T_4} = 0$$

$$\bullet i_{T_3} = i_{T_4} = I_0$$

$$\bullet V_{T_1} = V_{T_2} = V(t) > 0 \text{ possibilité d'amorçage}$$

$$\bullet i_{T_1} = i_{T_2} = 0$$

Il est possible d'amorcer  $T_1$  et  $T_2$  en envoyant des impulsions de gâchettes convenables à  $\alpha \in [0; \pi] \bmod 2\pi$ .

Après amorçage de  $T_1$  et  $T_2$  on a les 4 thyristors simultanément passants.

$$\bullet u_c(t) = 0$$

$$\bullet V_{T_1} = V_{T_2} = V_{T_3} = V_{T_4} = 0$$

$$\bullet i(t)?$$

$$V(t) = V\sqrt{2} \sin x = N_o w \frac{di}{dx} \Rightarrow i(x) = -\frac{V\sqrt{2}}{N_o w} \cos x + K \text{ avec } K = \text{cste}$$

$$\text{or } i(0) = -I_0 \text{ et } K = 0.$$

$$\text{alors } i(x) = \frac{V\sqrt{2}}{N_o w} [\cos \alpha - \cos(x)] - I_0.$$

C'est la phase de commutation de durée angulaire  $u$ , se termine à  $(x+u)$

$$\cos \alpha - \cos(x+u) = \frac{-2 N_o w}{V\sqrt{2}}$$

•  $x(u)$   $T_3$  et  $T_4$  bloqués et  $T_1$  et  $T_2$  passants  $\rightarrow$  état ①

Etat ①

$$\bullet u_c(t) = V(t)$$

$$\bullet i(t) = I_0$$

$$\bullet V_{T_3} = V_{T_4} = -V(t)$$

$$\bullet i_{T_3} = i_{T_4} = I_0$$

$$\bullet V_{T_1} = V_{T_2} = 0$$

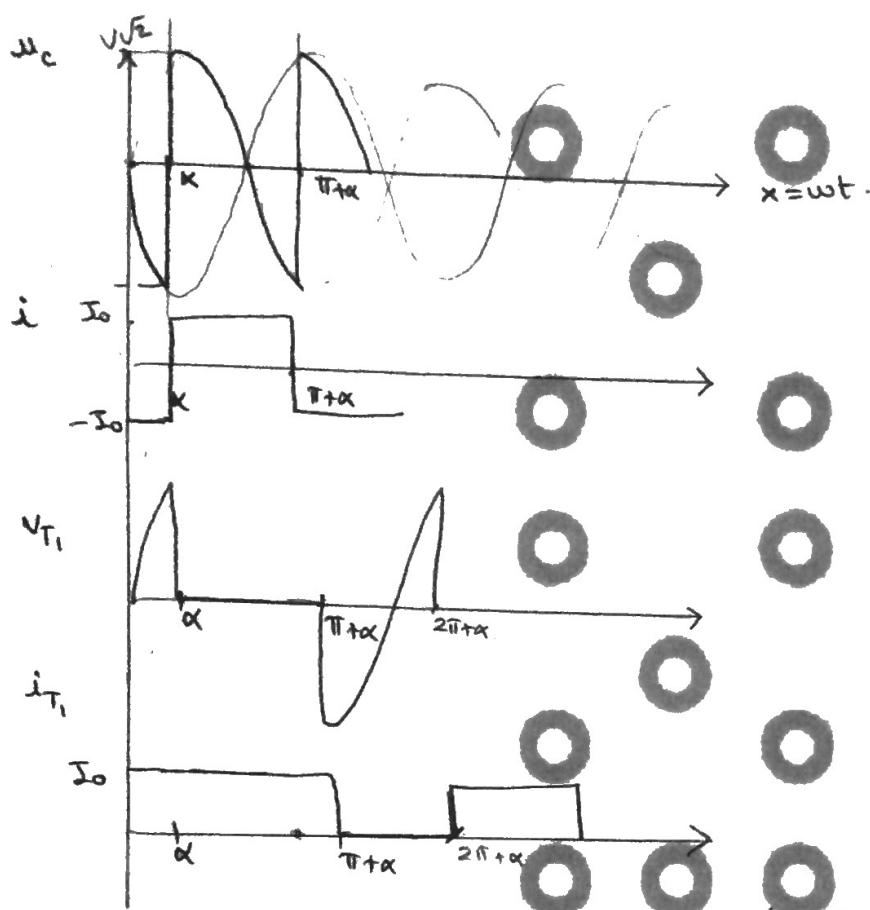
$$\bullet i_{T_1} = i_{T_2} = 0$$

Il est possible d'amorcer  $T_3$  et  $T_4$  ou  $x = \pi \bmod 2\pi$   
et on va retrouver la phase de commutation puis l'état ②  
alors fonctionnement périodique.

$$\star \quad \langle u_c \rangle = \frac{2}{\pi} V \sqrt{2} \cos \alpha$$

$$P_c = \langle u_c I_0 \rangle = \frac{2}{\pi} V \sqrt{2} I_0 \cos \alpha$$

Sans tenir compte de la commutation (de l'inductance  $N_o$ )

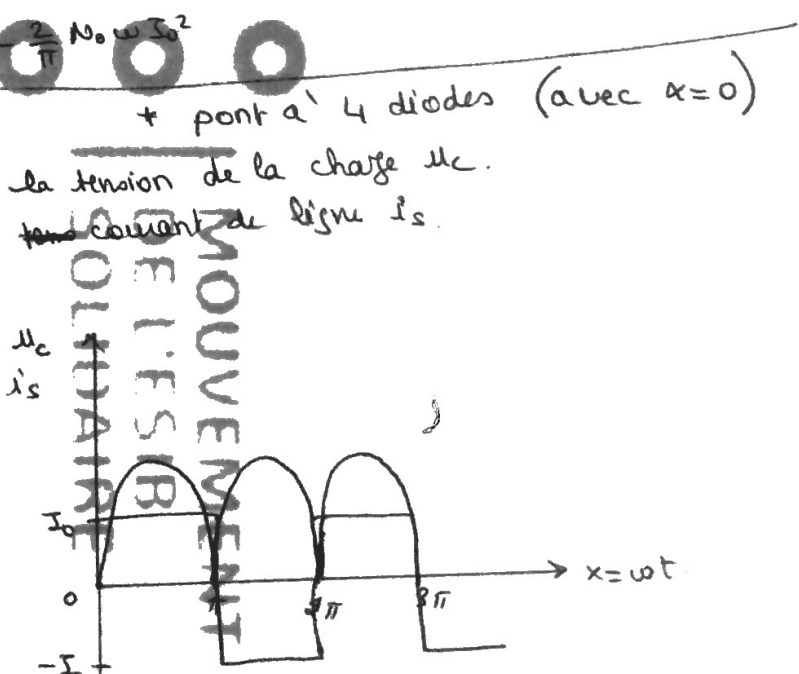
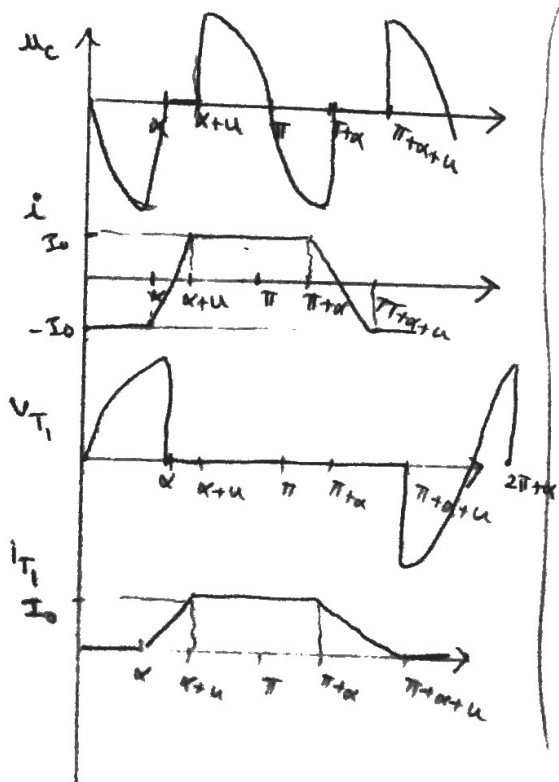


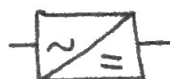
- valeur efficace de  $i(t)$   
 $I_{eff} = I_0$
- facteur de déformation  
 $\lambda = \frac{2\sqrt{2}}{\pi}$
- déphasage  $\varphi_i = \alpha$
- puissance fournie par la source  
 $P_s = \frac{2}{\pi} V \sqrt{2} I_0 \cos \alpha$

En tenant compte de la commutation (angle  $U$ ,  $N_o$  interviennent)

$$\star \quad \langle u_c \rangle = \frac{2}{\pi} V \sqrt{2} \cos \alpha - \frac{2}{\pi} N_o \omega I_0$$

$$P'_c = \langle u_c I_0 \rangle = \frac{2}{\pi} V \sqrt{2} I_0 \cos \alpha - \frac{2}{\pi} N_o \omega S_0^2$$





## Redresseurs assistés par le réseau alternatif

but → obtenir un signal continu à valeur moyenne réglable

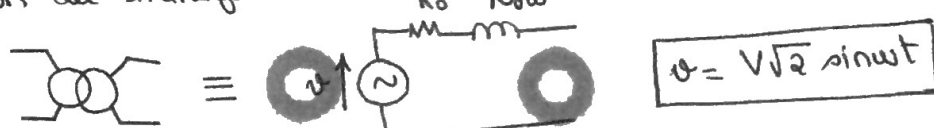
2 ponts → pont monophasé à 4 thyristors  
→ pont triphasé à 6 thyristors

Le pont de diodes est un cas particulier d'un pont à thyristors avec  $\alpha = 0$  (angle d'amorçage)

### 1 - Pont monophasé à 4 thyristors

→ côté alternatif : rôles du transfo → isolation galvanique  
→ adapter la tension du réseau à la tension souhaitée côté continu.

→ modélisation du transfo



→ côté continu : le réseau a courant unidirectionnel  
→ charge fortement inductive ≡ source de courant constante unidirectionnelle =  $I_0$

$$\rightarrow \text{charge RL}$$

1-1 - Cas d'une charge fortement inductive côté continu  
▷ Etude en régime permanent ( $i_c = I_0 = \text{cste}$ )

→ 2 états électriques possibles  $T_1, T_2 \text{ ON}$  ou  $T_3, T_4 \text{ ON}$

→ 2 cas  $\frac{1}{2}$  négliger la commutation  
 $\frac{2}{2}$  prise en compte de la commutation

#### 1-1-a - Commutation négligée

• Si  $T_1, T_2 \text{ ON}$  et  $T_3, T_4 \text{ OFF}$  :

$v_{T_3} = v_{T_4} \approx -v(t)$  (chute de tension aux bornes de  $R_0$  et  $N_0$  négligeable)  
 $\Rightarrow T_3$  et  $T_4$  amorçable pour  $v(t)$  négative (entre  $\pi$  et  $2\pi$ )

• Si  $T_3, T_4 \text{ ON}$  et  $T_1, T_2 \text{ OFF}$  :

$v_{T_1} = v_{T_2} \approx v(t)$   
 $\Rightarrow T_1, T_2$  amorçable pour  $v(t)$  positive (entre 0 et  $\pi$ )

• Etat initial  $T_1$  et  $T_2$  amorcé pour  $\alpha$  compris entre 0 et  $\pi$  ( $0 < \alpha < \pi$ )

$$u_c = v - R_0 I_0 - \frac{N_0 w}{dt} \Big|_{t=0} \text{ car } I_0 = \text{cste}$$

$$u_c = v - R_0 I_0$$

$$i = I_0$$

$$v_{T_1} = v_{T_2} = 0$$

$i_1 = i_2 = I_0 > 0$  si  $\alpha > 0$  (thyrist. supposé idéal)

$$v_{T_3} = v_{T_4} = -v + R_0 I_0$$

• Etat  $I_3$  et  $I_4$  enroulés en  $\underline{x = \text{off}}$   
commutation négligée  $\rightarrow T_1, T_2$  instantanément bloqués (OFF)

$$u_x = -\phi(t) - R_o I_o$$

$$i = -I_o$$

$$u_{T_1} = u_{T_0} = U + R_o I_o$$

$$i_1 = i_2 = 0$$

$$U_{T_3} = U_{T_4} = 0$$

$$i_3 = i_4 = I_o$$



R<sub>q</sub>  $\Rightarrow$  condition du bon fonctionnement  $t_r > t_q$   $\leftarrow$  temps de démarquage  
avec  $wt_r =$  durée pendant laquelle la tension aux bornes des thyristors reste  $0$

$$U_{T_1} = U(t) + R_o I_o = \sqrt{2} \sin wt \quad I_o = 0$$

$$\Rightarrow \sin wt = \frac{-R_o I_o}{\sqrt{2}}$$

$$\Rightarrow wt_r = -\arcsin \frac{R_o I_o}{\sqrt{2}}$$

$$wt_r = 2\pi - (\pi + \alpha) + wt$$

$$wt_r = \pi - \alpha - \arcsin \frac{R_o I_o}{\sqrt{2}} \quad \text{et} \quad t_r > t_q$$

Il faut que  $wt_r > t_q$

$$0 < \alpha < \pi - wt_q - \arcsin \frac{R_o I_o}{\sqrt{2}}$$

• Grandeur particulière  $i_{av}$

$\langle P_c \rangle$   
puissance  
côté  
charge

$\langle P_s \rangle$   
puissance  
côté  
source

→ valeur moyenne de la tension côté continu

$$\begin{aligned} \langle u_c \rangle &= \frac{1}{\pi} \int_0^{\pi} (U \sqrt{2} \sin(\omega t + \alpha) - R_o I_o) dx \\ &= \frac{1}{\pi} \left[ [-U \sqrt{2} \cos(\omega t + \alpha)]_0^{\pi} - [R_o I_o t]_0^{\pi} \right] \\ &= \frac{1}{\pi} \left[ -U \sqrt{2} \cos(\pi + \alpha) + U \sqrt{2} \cos(0 + \alpha) - R_o I_o \pi - R_o I_o \alpha + R_o I_o \alpha \right] \\ &= \frac{1}{\pi} \left[ 2U \sqrt{2} \cos \alpha - R_o I_o \pi \right] \end{aligned}$$

$$\langle u_c \rangle = \frac{2}{\pi} U \sqrt{2} \cos \alpha - R_o I_o \pi$$

$$\begin{aligned} \rightarrow I_{av} &= \left( \frac{1}{\pi} \int_0^{\pi} \langle i \rangle^2 dt \right)^{1/2} = \left[ \frac{1}{\pi} \int_0^{\pi} \left( \frac{2}{\pi} U \sqrt{2} \cos \alpha - R_o I_o \pi \right)^2 dt \right]^{1/2} = \left[ \frac{1}{\pi} \left( 2\pi U^2 \cos^2 \alpha + 2\pi^2 R_o^2 I_o^2 \pi^2 - 4\pi^2 R_o U \cos \alpha \right) \right]^{1/2} \\ &= \left[ \frac{U^2}{\pi} (2 \cos^2 \alpha + 2\pi^2 R_o^2 I_o^2) \right]^{1/2} = I_o \end{aligned}$$

$$I_{av} = I_o$$

$$\rightarrow \langle P_c \rangle = \langle u_c i_c \rangle = I_0 \langle u_c \rangle = \frac{2}{\pi} V_0 I_0 \sqrt{2} \cos \alpha - R_0 I_0^2$$

$\rightarrow \langle P_s \rangle ?$

En négligeant toutes les pertes (commutation, frottement, ... ) sauf les pertes Joule

$$\langle P_s \rangle = \langle P_c \rangle + R_0 I_0^2$$

$$\begin{aligned} \langle P_s \rangle &= \frac{2}{\pi} V_0 I_0 \sqrt{2} \cos \alpha \\ &= V_0 I_0 \cos \phi \\ &= V_0 I_{\text{eff}} f_p \end{aligned}$$

$\rightarrow f_p ?$

$$f_p = \frac{2 \sqrt{2}}{\pi} \cos \alpha = \lambda \cos \phi$$

$\rightarrow$  Graphiquement : déphasage entre  $u_c$  et le fondamental  $i_1$  est  $\underline{\underline{\alpha}}$

$$\begin{aligned} \phi_1 &= \alpha \\ \lambda &= \frac{2 \sqrt{2}}{\pi} \end{aligned}$$

Il faut chercher à arrondir  $\lambda$   
faire tendre  $\lambda$  vers 1

Re Pour  $\alpha \in [0, \frac{\pi}{2}] \Rightarrow \langle P_s \rangle \vee \langle P_c \rangle \oplus$   
 $\alpha \in [\frac{\pi}{2}, \pi] \Rightarrow \langle P_s \rangle \oplus \langle P_c \rangle \ominus$  (cas d'une source de courant)

$$\rightarrow \langle Q_s \rangle = \frac{2}{\pi} V_0 I_0 \sqrt{2} \sin \alpha$$

- $\langle P_s \rangle > 0$  pour  $0 < \alpha < \frac{\pi}{2}$  tension : redresseur onduleur
- $\langle P_s \rangle < 0$  pour  $\frac{\pi}{2} < \alpha < \pi$  pour consommation de la puissance réactive
- $\langle Q_s \rangle > 0 \quad \forall \alpha$  fonctionnement  $\rightarrow$  d'ici nécessité d'ajouter des sorties que dominent  $\langle Q_s \rangle$

Caractéristiques des convertisseurs  
on a  $\langle u_c \rangle = \frac{2}{\pi} \sqrt{2} \sin(\alpha - R_0 I_0)$

soit  $Z_{2m} = \frac{V_0}{I_{2m}}$   $\leftarrow$  impédance  $\leftarrow$  valeur moyenne du courant  $\leftarrow$  tension continue  $\leftarrow$  (valeur max efficace variant de  $0 \leq Z_{2m}$ )

$$\langle u_c \rangle^\circ = \frac{\langle u_c \rangle}{\frac{2}{\pi} \sqrt{2}} \quad \text{et} \quad \langle i_c \rangle^\circ = \frac{I_0}{I_{2m}}$$

( $R_0 I_0$  négligé  $\rightarrow$  on a pris la valeur maximale qui est le pire du cas)

$$\langle u_c \rangle^\circ = \cos \alpha - \frac{\pi}{2} n \langle i_c \rangle^\circ$$

Rq  $\langle \alpha_c \rangle$  limité par

↳  $t_g \rightarrow$  intérêt à travailler avec des thy. rapides

↳  $x_0 \rightarrow$  " " " " des transfo à faible  $P_g$

### 1-1-b- Prise en compte de la commutation

- Phase de commutation  $\rightarrow$  4 thy. passants  $\rightarrow$  charge court-circuitée
- Pour  $\alpha = \alpha_c \rightarrow$  amorçage de  $T_1$  et  $T_2$  pendant que  $T_3 T_4$  ON pendant un angle de commutation

$V = V_0 \sqrt{2} \sin \alpha = R_o i + N_o w \frac{di}{dx}$  soit  $\tan \phi = \frac{N_o w}{R_o}$

$$\frac{\sin \alpha}{\tan \phi} = \frac{1}{\tan \phi} i^* + \frac{di^*}{dx}$$

solution

$$i^* = i_g^* + i_p^*$$

$A e^{-\frac{x}{\tan \phi}}$        $B \cos \alpha + C \sin \alpha$

C.I.  $i(x) = -I_0$

$$i^*(x) = \cos \phi \left[ \sin(x - \phi) - \sin(\alpha - \phi) e^{\frac{-(x-\alpha)}{\tan \phi}} \right] - \frac{I_0}{V_0 \sqrt{2}} e^{\frac{-(x-\alpha)}{\tan \phi}}$$

↳ expression complexe difficile à manipuler d'où à simplifier

→ Pendant la commutation  $R_o i \leftrightarrow N_o w \frac{di}{dx}$

$$i(x) = \frac{V_0 \sqrt{2}}{N_o w} (\cos \alpha - \cos x) - I_0$$

→ Commutation se termine quand  $i(x+u) = I_0$

$$\cos \alpha - \cos(x+u) = 2 \frac{N_o w}{V_0 \sqrt{2}}$$

III

$$\cos \alpha - \cos(x+u) = \sqrt{\frac{N_o w}{V_0 \sqrt{2}}} i_0$$

Rq Quand  $\alpha \uparrow$ ,  $u \downarrow$

(Quand  $N_o w \uparrow$ ,  $u \uparrow$ )

Dans la pratique  $\alpha > \alpha_{min} \approx 10^\circ - 15^\circ$  ( $u$  très faible)

## \* Incidences de la commutation

→ tension côté continu

$$\Delta \langle u_c \rangle = \frac{1}{\pi} \int_{\alpha}^{\alpha+u} V_o \sqrt{2} \sin \alpha dx$$

$$\Delta \langle u_c \rangle = \frac{2}{\pi} N_o W I_o$$

avec  $\cos \alpha - \cos(\alpha+u) = \frac{2 N_o W}{V_o \sqrt{2}} I_o$

$$\langle u_c \rangle = \underbrace{\frac{2}{\pi} V_o \sqrt{2} \cos \alpha}_{\langle u_c \rangle_{sc}} R_o I_o - \frac{2}{\pi} N_o W I_o$$

→ courant côté alternatif

$$\alpha + u = \phi'_1 > \phi_1 = \alpha$$

$$F'_p \sim F_p$$

$$\lambda' \cos \phi'_1 \sim \lambda \cos \phi_1$$

$\lambda' > \lambda$  courant plus proche du fondamental  
(forme sinusoïdale)

→ tension des thyristors

$$w_{tr} = \overbrace{\pi - \alpha - \arcsin \frac{R_o I_o}{V_o \sqrt{2}}}^{w_{tr} (\text{sans commutation})} - u$$

$$0 < \alpha < \alpha_m = \pi - w_{tq} - \arcsin \frac{R_o I_o}{V_o \sqrt{2}} - u$$

→ caractéristique du convertisseur (fig 10)

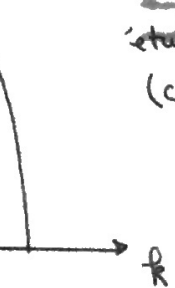
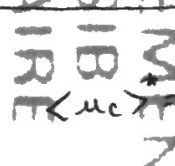
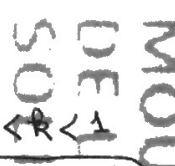
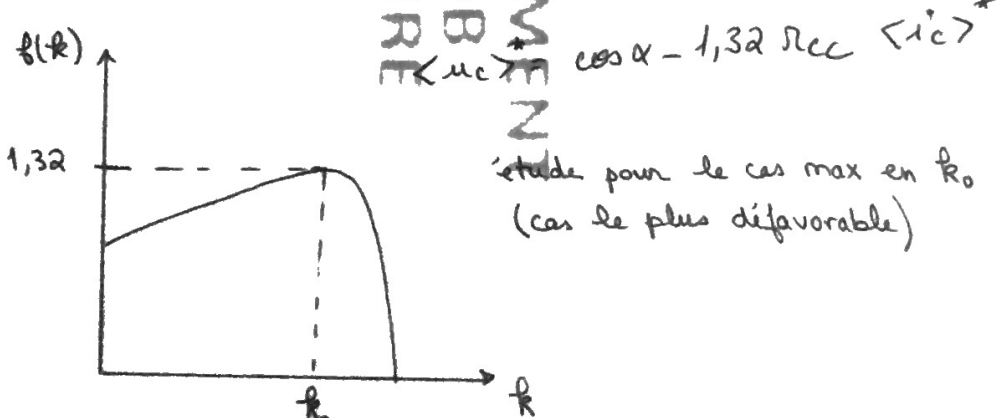
$$\langle u_c \rangle^* = \left( \cos \alpha - \left( \frac{\pi}{2\sqrt{2}} \lambda_o + \frac{N_o W}{\sqrt{2}} \right) \langle i_c \rangle^* \right) \text{ sans commutation}$$

$$X_{CC} = \sqrt{X_o^2 + (N_o W)^2} \quad \begin{matrix} \text{impédance de C-C} \\ \text{connue (constructeur)} \end{matrix}$$

$$X_o = R X_{CC}$$

$$N_o W = X_{CC} \sqrt{1 - R^2} \quad \text{avec } 0 < R < 1$$

$$\frac{\pi}{2\sqrt{2}} \lambda_o + \frac{N_o W}{\sqrt{2}} = \left( \frac{\pi}{2} R + \sqrt{1 - R^2} X_{CC} \right) f(R)$$



$$\cos \alpha - 1.32 X_{CC} \langle i_c \rangle^*$$

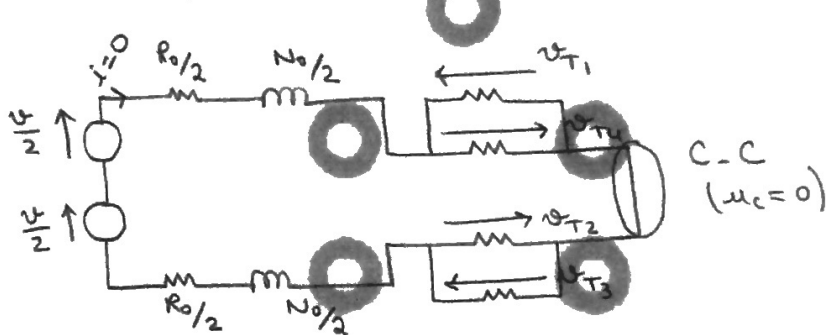
étude pour le cas max en  $R_o$   
(cas le plus défavorable)

1-2 - Circuit monophasé à 4 thyristors débitant sur une charge R-L (fig 11)

$$\underline{R_L} \quad \left\{ \begin{array}{l} R > R_0 \\ L \ggg N_0 w \end{array} \right.$$

- C.I  $\left\{ \begin{array}{l} \langle u_c \rangle = 0, u_c = 0 \\ i_c = 0 \\ \omega = V_0 \sqrt{2} \sin \omega t = V_0 \sqrt{2} \sin \alpha c \end{array} \right.$

- Thyristors tous bloqués  $\Leftrightarrow$  à des résistances élevées ( $\ggg$ )



$$V_{T_1} = V_{T_2} = \frac{V}{2} \quad \text{amorçable entre } 0 \text{ et } \pi$$

$$V_{T_3} = V_{T_4} = -\frac{V}{2} \quad " \quad " \quad \pi \text{ et } 2\pi$$

- Soit  $0 < \alpha < \pi \rightarrow T_1, T_2 \text{ ON}$

$$\left\{ \begin{array}{l} \omega = V_0 \sqrt{2} \sin \alpha c = (R_0 + R) i_c + (N_0 + L) \omega \frac{di_c}{d\alpha} \\ i = i_c \\ i_c(0) = i_c(\alpha) = 0 \end{array} \right.$$

→ Chercher  $i_c(\alpha)$  pour savoir où  $i_c$  s'annule

$$\text{Soit } v^* = \frac{v}{V_0 \sqrt{2}} = \sin \alpha \quad i_c^* = \frac{i_c}{V_0 \sqrt{2}}$$

$$\tan \phi = \frac{(L + N_0) \omega}{R + R_0}$$

$$\sin \alpha = i_c^* + \frac{\omega}{\tan \phi} \frac{di_c^*}{d\alpha}$$

$$\text{avec } i_c^*(\alpha) = 0$$

Solution

$$\rightarrow i_c^*(\alpha) = \cos \phi \left( \sin \left( \frac{\alpha - \phi}{\tan \phi} \right) \text{ en } \frac{(\alpha - \phi)}{\tan \phi} \sin (\alpha - \phi) \right)$$

$$\cdot i_c^*(\pi + \alpha) = -\cos \phi \sin (\alpha - \phi) \left[ \frac{\pi + \alpha - \phi}{\tan \phi} \right] > 0$$

- charge inductive → courant en retard par  $\phi$  à la tension  
- signe de  $i_c^*(\pi + \alpha)$  dépend de  $\sin(\alpha - \phi)$

→ 1° si  $\kappa > \phi$  →  $i_c^*(\pi + \alpha) < 0 \Rightarrow$  n'existe pas

2° si  $\kappa < \phi$  →  $i_c^*(\pi + \alpha) > 0 \rightarrow$  amorçage de  $T_3 T_4$  alors que  $T_1 T_2$  conduisent  
(phénomène de commutation)

3° si  $\kappa = \phi$  →  $i_c^*(\pi + \alpha) = 0 \rightarrow$  cas critique

Cas 1° ⇒ conduction discontinue (fig 13)

• Pour  $\kappa > \phi$  →  $i_c$  s'annule en  $x < \pi + \alpha$

→  $T_1 T_2$  se bloquent

→ état électrique identique aux C.I

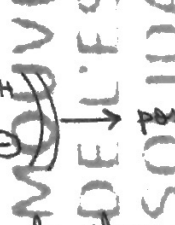
→  $i_c$  a des paliers nuls

•  $L \gg N_o$  et  $R > R_o$

$$\frac{N_o}{L} \approx 10 \mu H$$

$$\frac{N_o}{L} \approx 1\%$$

$$\Theta \approx 1$$



possibilité de négliger  $N_o$  devant  $L$

$$N_o \ll L$$

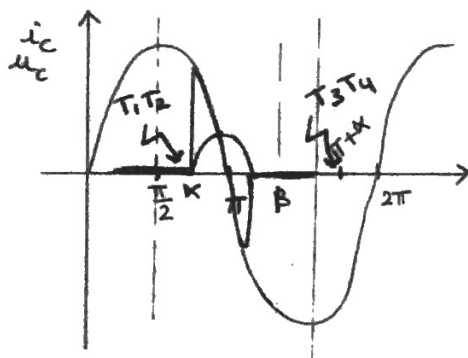
$\langle i_c \rangle = f(x, \beta)$  donc dépend de la charge

→ fonctionnement non souhaité pour ce type de pont.

Rq si  $\kappa > \frac{\pi}{2}$



$i_c$  va s'annuler avant l'amorçage du couple de thyrs suivants



Graphiquement: la partie où  $i_c > 0$  est bcp + grande que  $i_c < 0$  donc le courant  $i_c$  qui va augmenter tant que  $i_c > 0$  va s'annuler avant l'amorçage de  $T_3 T_4$

\* Seul le fonct° en conduction discontinue est envisagé

\*  $\langle i \rangle = 0$  courant alternatif mais non sinusoidal  
valeur moyenne

Cas 2° ⇒ Cas Critique (fig 14)

• Pour  $\kappa = \phi$

$$i_c^*(x) = \cos \phi \sin(\omega x - \phi) = \cos \alpha \sin(\omega x - \alpha)$$

Le courant  $i$  est sinusoidal

### Cas 3 $\Rightarrow$ Conduction Continue

- Pour  $\alpha < \phi$

$T_3 T_4$  amorcé à  $\pi + \alpha$  alors que  $T_1 T_2$  passants car  $i_c > 0$   
 → commutation

$$v = V_0 \sqrt{2} \sin \omega t = R_o i + N_o w \frac{di}{dx} \quad \text{côté alternatif}$$

$$0 = R_{ic} + L_w \frac{di_c}{dx} \quad \text{côté continu}$$

On a 2 cas de temps  $\frac{L_w}{R_{ic}} \ll \frac{1}{R}$

$$\frac{L}{R} \gg \frac{N_o}{R_o} \quad \text{alors plus rapide}$$

- variation de  $i_c$  plus lent que la variation de  $i$
- commutation très courte → considérez  $i_c$  cste pendant il

$$i = i_c (\pi + \alpha)$$

- Il suffit d'étudier  $i$  durant la commutation

$$\begin{array}{ll} CI & i(\alpha + \pi) = i_c(\alpha + \pi) \\ CF & i(\alpha + \pi + u) = -i_c(\alpha + \pi) \end{array}$$

$$\begin{aligned} \text{On a } i_1 + i_3 &= i_c(\pi + \alpha) \\ i_2 + i_4 &= i_c(\pi + \alpha) \end{aligned}$$

$$\begin{aligned} i_1 - i_4 &= i \\ i_2 - i_3 &= i \end{aligned}$$

$$\begin{aligned} 0 < i_1 &< i_c(\alpha + \pi) \\ 0 < i_2 &< i_c(\alpha + \pi) \end{aligned}$$

$$\begin{aligned} 0 < i_3 &< i_c(\alpha + \pi) \\ 0 < i_4 &< i_c(\alpha + \pi) \end{aligned}$$

$$\left\{ \begin{array}{l} R_o i \ll N_o w \frac{di}{dx} \\ i(\alpha + \pi) = i_c(\alpha + \pi) \end{array} \right.$$

solution

$$i(x) = \frac{V_0 \sqrt{2}}{N_o w} [\cos(\alpha + \pi) - \cos x] + i_c(\pi + \alpha) \quad \begin{array}{l} \text{j'obtient la réchouf amtin} \\ \text{commutation btofles} \end{array}$$

Commutation se termine pour

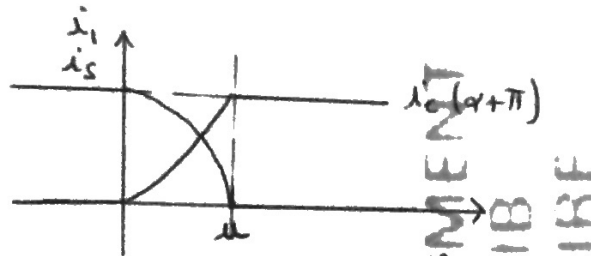
$$i(\pi + \alpha + u) = -i_c(\pi + \alpha)$$

$$\cos x - \cos(\alpha + u) = \frac{-N_o w}{V_0} i_c(\alpha + \pi)$$

Puisque 4 thyristors identiques

$$i_1 = i_2 = \frac{i + i_c(\alpha + \pi)}{2} = i_c(\alpha + \pi) + \frac{V_o \sqrt{2}}{2N_o w} (\cos(\alpha + \pi) - \cos \alpha)$$

$$i_3 = i_4 = \frac{-i + i_c(\alpha + \pi)}{2} = -\frac{V_o \sqrt{2}}{2N_o w} (\cos(\alpha + \pi) - \cos \alpha)$$



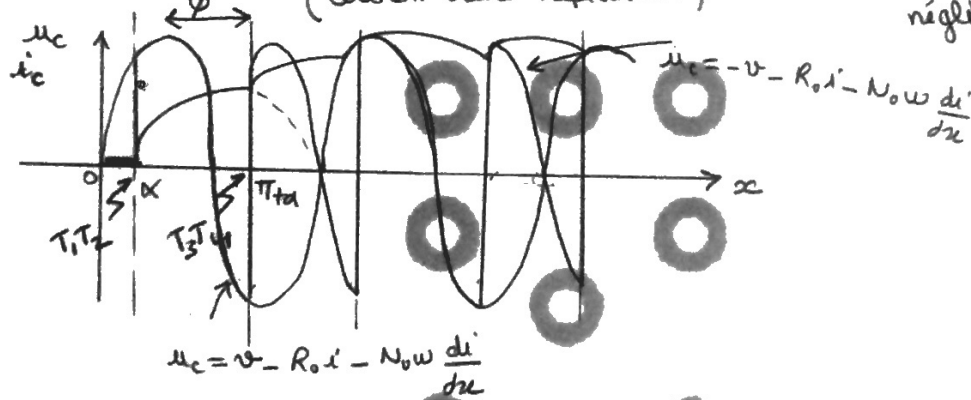
Gradients de courant dans les thyristors

$$\left( \frac{di_T}{dt} \right)_\alpha = \frac{V_o \sqrt{2}}{2N_o} \sin \alpha$$

$$\text{gradient max pour } \alpha = \frac{\pi}{2} \rightarrow \left( \frac{di_T}{dt} \right)_{\alpha \max} = \frac{V_o \sqrt{2}}{2N_o}$$

→ Importance de  $N_o$ :

- $N_o$  limite le gradient de courant à l'amorçage et au blocage des thyristors.
- $N_o$  garantie la non destruction des thyristors.
- $N_o$  faible → gradient de courant grand → durée de commutation faible  
(courant varie rapidement)  
↓  
négliger la commutation



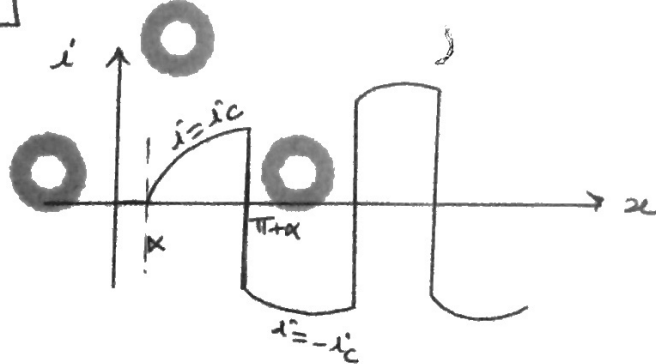
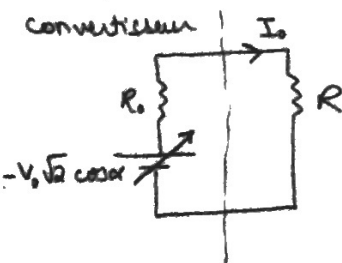
$$i_c = \langle i_c \rangle + i_{c,v}$$

lorsque  $i_{c,v} \ll \langle i_c \rangle$

$$i_{c,v} I_o = \langle i_c \rangle = -\frac{\langle i_c \rangle}{I_o}$$

$$\langle i_c \rangle = \frac{2}{\pi} V_o \sqrt{2} \cos \alpha - R_o I_o$$

$$\langle i_c \rangle = I_o = \frac{2}{\pi} \frac{V_o \sqrt{2}}{R + R_o} \cos \alpha$$



- Voir Récapitulatif p.20

## 2 - Pont triphasé à 6 thyristors

- Le courant va tjs passer dans la branche la plus  $\oplus$  et donc on ne peut pas amorcer 3 thyrs ensemble  $\rightarrow$  il y a tjs 1 thyroïde des 3 qui va être bloqué
- Tous les thyrs  $T_i$  et  $T_{i+3}$  ensemble passants  $\rightarrow$  CC la charge  $\rightarrow$  Non  
 $T_i$  et  $T_{i+2}$  " "  $\rightarrow$  CC la source  $\rightarrow$  Non

- 6 combinaisons possibles

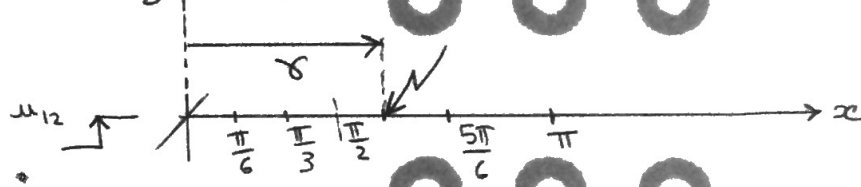
$T_6 T_1$	$T_3 T_4$
$T_1 T_2$	$T_4 T_5$
$T_2 T_3$	$T_5 T_6$

**MOUVEMENT DE L'ÉMISSAIRE**

- En prenant le front montant de  $u_{12}$  comme origine des temps.

$T_1$  et  $T_6$  amorçables entre  $\frac{\pi}{6}$  et  $\frac{5\pi}{6}$   
 (le déphasage entre tension simple et tension composée =  $\frac{\pi}{6}$ )

- Soit un pt  $\gamma > \frac{\pi}{3}$  qlcq où  $T_1, T_6$  sont amorcés



$$u_{12} = U_0 \sqrt{2} \sin \omega c = (R + 2R_o) i_c + (L + 2N_o) \omega \frac{d i_c}{d x}$$

$$i_c(0) = 0 = i_c(\gamma)$$

Soit  $L\omega \gg 2N_o\omega$  ( $\frac{N_o}{L} \ll \frac{1}{100}$ )

on pose  $u^* = \frac{U_{12}}{U_0 \sqrt{2}} = \sin \omega c$      $i_c^* = \frac{i_c}{U_0 \sqrt{2} / R + 2R_o}$      $\tan \phi = \frac{L\omega}{R + 2R_o}$

$$\sin \omega c = i_c^* + \tan \phi \frac{d i_c^*}{d x}$$

solution

$$i_c^*(x) = \cos \phi [\sin(x - \phi) - e^{\frac{x-\gamma}{\tan \phi}} \sin(\gamma - \phi)]$$

Qd  $i_c = 0$  ??

En  $(\gamma + \frac{2\pi}{6})$  amorçage d'un nouveau couple de thyrs.

P1 hyp. tout est nul  $\rightarrow$  on commence par  $\frac{\pi}{6} = \gamma$

hyp. régime permanent  $\rightarrow$  " " par  $\frac{\pi}{3} = \gamma$

signe de  $i_c(\gamma + \frac{2\pi}{6})$

$\hookrightarrow i_c(\gamma + \frac{2\pi}{6}) < 0 \rightarrow i_c(\beta) = 0$  avec  $\beta < \gamma + \frac{2\pi}{6}$

conduction discontinue

état élec éqr aux CI

$\hookrightarrow i_c(\gamma + \frac{2\pi}{6}) = 0 \rightarrow i_c(\beta) = 0$  avec  $\beta = \gamma + \frac{2\pi}{6}$

limite.

$\hookrightarrow i_c(\gamma + \frac{2\pi}{6}) > 0 \rightarrow i_c(\beta) = 0$  pour  $\beta > \gamma + \frac{2\pi}{6}$

en  $\gamma + \frac{2\pi}{6}$  amorçage d'un nouveau couple de thyrs

pendant que  $T_1, T_6$  passent

conduction continue

phénomène de commutation.

Cas 1° conduction discontinue (fig 7')

- Pour  $\alpha = \beta \rightarrow T_1, T_6$  se bloquent

Le système retrouve théoriquement son état élec initial avec  $\alpha_T = \alpha_i > 0$

Or en pratique, après avoir conduit, le thyro  $\Leftrightarrow$  à une source de courant (phénomène de recouvrement inverse)

$\rightarrow$  Le système de tous thy. bloqué n'est pas cyclique

- Prendre en compte  $\rightarrow I_{TR}$  du thyro concerné par la commutation

+ celui des thyrs concernés par la conduction précédente

- En  $\alpha = \gamma + \frac{2\pi}{6} \rightarrow T_1$  voit une tension  $u < 0$  à ses bornes du courant  
son amorçage peut faire grâce à une impulsion de gâchette convenable

~~$\frac{\pi}{6} < \gamma < \frac{2\pi}{6}$~~  mais  $\frac{\pi}{6} < \gamma < \frac{\pi}{3}$

En  $\alpha = \gamma + 2\pi$

$\alpha_T \sim u_{B3} \neq \alpha_i \rightarrow$  angle d'amorçage naturel = front montant de  $u_{B3}$

$\Rightarrow \frac{\pi}{6} < \gamma < \pi$  mais  $\boxed{\frac{\pi}{3} < \gamma < \pi}$

$T_1, T_6$  ON  $\rightarrow u_c = u_B - 2R_o i_c - 2N_o W \frac{di_c}{d\alpha}$

s'et  $u_c^* = \frac{u_c}{U_0 \sqrt{2}}$  et  $i_c^* = \frac{i_c}{U_0 / \sqrt{2} / (2R_o + R)}$

$$u_c^* = \sin \alpha - \frac{2R_o}{U_0 \sqrt{2}} \frac{2R_o + R}{2R_o + R} i_c^* \frac{2N_o W}{U_0 \sqrt{2}} \frac{2R_o + R}{2R_o + R} \frac{di_c}{d\alpha}$$

or  $\sin \alpha = i_c^* + \tan \phi \frac{di_c}{d\alpha}$

$$u_c^* = \left(1 - \frac{2N_o}{L}\right) \sin \alpha - \left(\frac{2R_o}{2R_o + R} - \frac{2N_o}{L}\right) i_c^*$$

$$\text{or } \frac{N_o}{L} \ll \text{ d'où } \boxed{i_c^* = \sin \alpha - \left( \frac{L N_o}{2 R_o + R} \right) i_c^*}$$

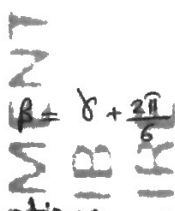
terme petit car  $R_o \ll R$

Alors tension continue  $i_c^*$  très voisine de  $\sin \alpha$

( $i_c^*$  va être une tension composée puis au passage à un nouveau couple de thyrs  $i_c^*$  va être la tension composée suivante)

### Cas 2 Cas limite

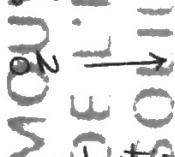
$$i_c(\beta) = 0 \text{ avec } \beta = \gamma + \frac{2\pi}{6}$$



### Cas 3 Conduction Continue

•  $T_1, T_2$  amorcés alors que  $T_3, T_4$  sont bloqués

•  $i_c(\gamma + \frac{2\pi}{6}) > 0$        $T_1, T_2$  ON       $\rightarrow$  commutation



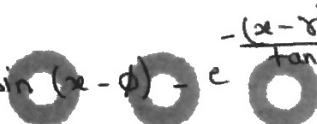
Rq pour savoir le type de conduction, il faut voir  $i_c$  non à deux bornes du thyroïde

ex  $i_c$  présente des pics nuls  $\rightarrow$  conduction discontinue

• Soit  $\phi$  tel que  $\beta > \gamma + \frac{2\pi}{6}$  et  $i_c(\beta) = 0$

• A partir de  $\gamma$ :

$$i_c^*(x) = \cos \phi [ \sin(\gamma - \phi) - e^{-\frac{(x-\gamma)}{\tan \phi}} \sin(\gamma - \phi) ]$$



$$\left. \begin{array}{l} \text{Fig 3} \\ \left\{ \begin{array}{l} \textcircled{1} \quad u_{in} - (R_o + R) i_c - (L + N_o) w \frac{di_c}{dx} = u_{2n} - R_o i_2 - N_o w \frac{di_2}{dx} \\ \textcircled{2} \quad \qquad \qquad \qquad = u_{3n} - R_o i_3 - N_o w \frac{di_3}{dx} \\ i_2 + i_3 + i_c = 0 \quad \textcircled{3} \quad \text{éq des nœuds} \end{array} \right. \end{array} \right.$$

① - ②

$$\left. \begin{array}{l} \frac{u_{12} + u_{13}}{2} = \left( \frac{3 R_o}{2} + R \right) i_c + \left( \frac{3 N_o}{2} + 1 \right) w \frac{di_c}{dx} \\ u_{23} = R_o(i_2 - i_3) + N_o w \frac{d(i_2 - i_3)}{dx} \\ -i_c = i_2 + i_3 \end{array} \right. \quad \downarrow$$



• Pratiquement,  $i_c$  varie lentement par rapport aux courants de phase

•  $i_c \approx i_c(\gamma + \frac{2\pi}{6})$  = constante pendant la commutation

chute de tension  $\ll$

•  $u_{23} = \underbrace{2 R_o i_2}_{\text{terme d'annulation}} + \overbrace{R_o i_c (\gamma + \frac{2\pi}{6})} + 2 N_o w \frac{di_2}{dx}$

$u_{23} \approx 2 N_o w \frac{di_2}{dx}$  faible

$$\text{C.I} \quad i_2(\gamma + \frac{2\pi}{6}) = -i_c(\gamma + \frac{2\pi}{6}) = -i_{T_c}(\gamma + \frac{2\pi}{6})$$

• En prenant pour origine des temps le front montant de  $u_{23}$

$$i_2(\tau) = \frac{U_0\sqrt{2}}{2N_0w} [\cos(\tau - \frac{2\pi}{c}) - \cos\omega\tau] - i_c(\tau + \frac{2\pi}{c})$$

$u_{23} \oplus$  durant la commutation donc  $i_2$  croissant  $\rightarrow i_{T_6}$  décroissant

Commutation se termine qd  $i_{T_6} = 0$

### • Durée de commutation

$$\boxed{\cos(\tau - \frac{2\pi}{c}) - \cos(\tau - \frac{2\pi}{c} + \omega t) = \frac{2N_0w}{U_0\sqrt{2}} i_c(\tau + \frac{2\pi}{c})}$$

$$i_2(\tau - \frac{2\pi}{c} + \omega t) = 0$$

$$\sum \text{B.I.} =$$

• Gradient de courant :  $\frac{di_{T_2}}{dt}_{\tau+2\pi/c} \Rightarrow \frac{\omega^2 N_0 I_0}{2\pi/c} = \frac{U_0\sqrt{2}}{2N_0} \sin(\tau - \frac{2\pi}{c})$

$\rightarrow$  gradient maximal pour  $\tau - \frac{2\pi}{c} = \frac{\pi}{2}$   $\Rightarrow \boxed{\tau = \frac{\pi}{6}}$

$\rightarrow$  inductance de fuites ( $N_0$ )  $\rightarrow$  garantie la non destruction des thyrs

$N_0 w \ll \rightarrow$  si durée faible  $\rightarrow$  commutation à négligé

- Génération des impulsions de commande

$\rightarrow$  procédé par "double impulsion"

consiste à répéter l'impulsion sur le  $T_{n-1}$  lorsqu'on désir rendre passant  $T_n$

$\rightarrow$  permet la 1<sup>ère</sup> mise en conduction  
 $\rightarrow$  " de fond en conduction discontinue

2-2-P34CT connecté à une source de courant unidirectionnel cat:

2-2-1- Commutation quasi-instantané :

	$u_c$	$i_i$	$i_{T_1}$
$T_1 T_6$	$u_{12} = 2R_o I_o$	$I_o$	0
$T_1 T_2$	$u_{13} = 2R_o I_o$	$I_o$	0
$T_2 T_3$	$u_{23} = 2R_o I_o$	0	$u_{12} + R_o I_o$
$T_3 T_4$	$u_{21} = 2R_o I_o$	$-I_o$	$u_{12} + 2R_o I_o$
$T_4 T_5$	$u_{31} = 2R_o I_o$	$-I_o$	$u_{13} + 2R_o I_o$
$T_5 T_6$	$u_{32} = 2R_o I_o$	0	$u_{13} + R_o I_o$

Pour fig 15  $\alpha = \frac{5\pi}{6}$

$$w_{tr} = 2\pi - \arcsin \frac{R_o I_o}{U_0 \sqrt{2}} - \left( \frac{\pi}{3} + \alpha + \frac{2\pi}{c} + \frac{2\pi}{c} \right)$$

cas où compté à partir du front montant de  $u_{13}$

$$w_{tr} = \pi - \arcsin \frac{R_o I_o}{U_0 \sqrt{2}}$$

$$\times < \alpha_m = \pi - w_{tr} - \arcsin \frac{R_o I_o}{U_0 \sqrt{2}} + \pi$$

cas en commutation

C'est  $w_{tr}$  du pire des cas donc  $w_{tr}$  le plus petit  
 (pour dimensionner le thyroïde)

## \* Grandeur caractéristiques (fig 13 - 14 - 15)

$$\rightarrow \langle u_c \rangle = \frac{1}{\frac{2\pi}{3}} \int_{\frac{\pi}{3}}^{\frac{\pi}{3} + \frac{2\pi}{3}} [U_0 \sqrt{2} \sin \alpha - 2R_o I_o] d\alpha$$

$$\boxed{\langle u_c \rangle = \frac{3}{\pi} U_0 \sqrt{2} \cos \alpha - 2R_o I_o}$$

$\rightarrow \langle u_c \rangle$  en cas d'un pont 3P à 6T est meilleur

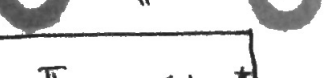
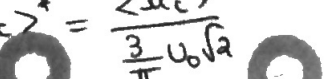
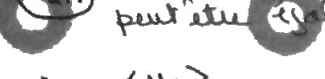
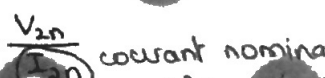
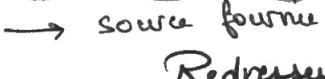
$$\rightarrow I_{1eff}^2 = \frac{1}{\pi} \int_{\alpha}^{\alpha + \frac{2\pi}{3}} I_o^2 d\alpha \rightarrow \boxed{I_{1eff} = \sqrt{\frac{2}{3}} I_o}$$

$$\rightarrow \langle p_c \rangle = \frac{3}{\pi} U_0 \sqrt{2} I_o \cos \alpha - 2R_o I_o$$

$$\begin{aligned} \rightarrow \langle p_s \rangle &= \langle p_c \rangle + \boxed{3 R_o I_{1eff}^2} = \\ &= \frac{3}{\pi} U_0 \sqrt{2} I_o \cos \alpha = \sqrt{3} U_0 I_{1eff} F_p = \sqrt{3} U_0 I_{11} \cos \phi, \end{aligned}$$

$$\rightarrow F_p = \frac{3}{\pi} \cos \alpha = \lambda \cos \phi,$$

or d'après fig 16 on a  $\alpha = \phi_1$  d'où  $\lambda = \frac{3}{\pi} \approx 0,95 \rightarrow \oplus$  sinusoidale qu'en monophasé



- Prise en compte de la commutation

Calcul analogique à celui de la charge PL

$$(t = \pi + \frac{\pi}{3}) \rightarrow \cos\alpha - \cos(\alpha + \pi) = n_{\text{ew}} \langle i_c \rangle^*$$

→ Il y a perte de commutation ?

$$u_c = u_{12} = u_{3c} = \frac{u_{12} + u_{3c}}{2} \quad (\text{fig 19})$$

$$\begin{cases} u_{12} = u_{12} - R_o I_o + R_o I_2 \sum \frac{N_{12}}{N_{12}} \\ u_{3c} = u_{12} - R_o I_o + R_o I_3 \sum \frac{N_{3c}}{N_{12}} \end{cases}$$

$$u_c = \frac{u_{12} + u_{3c}}{2} - \left( \frac{3}{2} R_o I_o \right)$$

Sous pris dans le calcul on va majorer  
= un terme par  $2R_o I_o$

Avant commutation  $u_c = u_{12} - \sum \frac{N_{12}}{N_{12}}$

Après " "  $u_c = u_{12} - 3R_o I_o$

- Incidence de la commutation

→ pour  $\Delta u_c$ :

$\langle u_c \rangle_y$  de la surface hachurée (fig 20)

$$\Delta \langle u_c \rangle = \frac{1}{2\pi} \int_{-\pi/3}^{\pi/3} [u_{12} - \sum \frac{N_{12}}{N_{12}}] du = \cancel{\int_{-\pi/3}^{\pi/3} u_{12} du} - \cancel{\int_{-\pi/3}^{\pi/3} \sum \frac{N_{12}}{N_{12}} du}$$

$\approx$  en prenant le bout mort de  $u_{12}$

$$\Delta \langle u_c \rangle = \cancel{\int_{-\pi/3}^{\pi/3} u_{12} du} - \sum \frac{N_{12}}{N_{12}} \left( \pi - \frac{2\pi}{3} \right)$$

$$\begin{aligned} \Delta \langle u_c \rangle &= \frac{3}{2\pi} \int_{-\pi/3}^{\pi/3} (u_{12} - \cancel{u_{12}}) du = \frac{3}{2\pi} \int_{-\pi/3}^{\pi/3} 2N_{\text{ew}} \frac{du}{du} \\ &= \frac{3}{\pi} N_{\text{ew}} \int_{-\pi/3}^{\pi/3} \frac{du}{I_o} = \frac{3}{\pi} N_{\text{ew}} I_o \end{aligned}$$

$$\Delta \langle u_c \rangle = \frac{3}{\pi} N_{\text{ew}} I_o$$

chute resistive

$$\langle u_c \rangle = \frac{3}{\pi} N_{\text{ew}} \cos\alpha - 2R_o I_o - \frac{3}{\pi} N_{\text{ew}} I_o$$

$$\langle u_c \rangle^* = u_{12} - \left[ \frac{N_{\text{ew}}}{2} + I_2 N_{\text{ew}} \right] \langle i_c \rangle^*$$

→ Sur le courant alternatif

$$\phi'_1 > \phi_1$$

$$\Rightarrow f'_p \approx f_p$$

→  $\lambda' > \lambda$  → allure du courant un peu plus sinusoïdale

→ Sur  $v_T$  (tension aux bornes du thy)

$$(w_{tr} > w_{tq}) \rightarrow \alpha_m = \pi - w_{tq} - u - \arcsin \frac{R_o I_o}{V_o \sqrt{2}}$$

+ discontinuité de tension aux bornes des composants avec pour

$\frac{\pi}{3} < \alpha < \frac{2\pi}{3}$  un gradient de tension du blocage inverse au blocage direct

→ risque de raccourcissement des thyristors non contrôlés.

- Incidence de la commutation sur la caract. du convertisseur

$$\left\{ \begin{array}{l} \langle u_c \rangle^+ = \cos \alpha - \left[ \frac{n_o w}{2} + \frac{\pi}{3} n_o \right] \langle i_c \rangle^+ \\ \cos \alpha - \cos (\alpha + u) = n_o w \langle i_c \rangle^+ \\ 0 < \alpha < \pi - w_{tq} - u - \arcsin \frac{R_o \langle i_c \rangle^+}{2} \end{array} \right.$$

$$\left\{ \begin{array}{l} x_{cc} = \sqrt{n_o^2 + (n_o w)^2} \\ n_o = R x_{cc} \end{array} \right. \quad \left. \begin{array}{l} f(k) \text{ max à calculer} \\ \Rightarrow \langle u_c \rangle^+ = \cos \alpha - 1,16 x_{cc} \langle i_c \rangle^+ \end{array} \right.$$

### Récapitulatif

- P1Q4T } \* systèmes essentiellement non-linéaires  
P3Q6T } \* certains ponts nécessitent un développement particulier  $\alpha$  des antécédentes.